

La K-théorie de Milnor des anneaux p-adiques, d'après Lüsens-Morrow

Exposé au Sem. Preprint
21/04/2022

Definitions

• (K-groupes) R anneau (commutatif pour simplicité)

$K_0(R) = \{ \text{proj. } R\text{-mod. finis. proj.} \} / \cong \text{iso}$ - Grothendieck

$K_1(R) = GL(R) / \text{matrices élémentaires}$ - Bass

$K_2(R) = \text{cent}(St(R)) = \text{ker}(St(R) \xrightarrow{\phi} GL(R))$ - Milnor

$\langle e_{ij}(\lambda), i, j \in \mathbb{N}^*, i \neq j, \lambda \in A \rangle$

$e_{ij}(\lambda) e_{ij}(\mu) = e_{ij}(\lambda + \mu)$
 $[e_{ij}(\lambda), e_{jk}(\mu)] = e_{ik}(\lambda + \mu) \quad i \neq k$
 $[e_{ij}(\lambda), e_{kl}(\mu)] = 1 \quad i \neq l, j \neq k$

prendre les matrices élémentaires de transvections associées.

• $R = F$ corps commutatif

$K_0(F) \xrightarrow[\sim]{\dim_F} \mathbb{Z}$

$K_1(F) \xrightarrow[\sim]{\det} F^\times \xrightarrow{\sim} K_1(F)$

$K_2(F) \cong F^\times \otimes_{\mathbb{Z}} F^\times / \langle a \otimes (1-a) \mid a \neq 0, 1 \rangle$ (Matsumoto '69)

• Def (Milnor) R anneau commutatif, le n-ième K-groupe de Milnor

$K_n^M(R) := (R^\times)^{\otimes n} / \text{relations de Steinberg: } a_1 \otimes \dots \otimes a_r \otimes \dots \otimes (1-a_r) \otimes \dots \otimes a_n.$

Autrement dit $K_n^M(R) = \bigoplus_{n \geq 0} (R^\times)^{\otimes n} / \langle a \otimes (1-a) \rangle$

• $K_0^M(R) = \mathbb{Z}, K_1^M(R) = R^\times$

• On a un morphisme naturel :

$K_2^M(R) \longrightarrow K_2(R)$
 $\{ a, b \} \longmapsto \left[\begin{pmatrix} a & & \\ & a^{-1} & \\ & & 1 \end{pmatrix}, \begin{pmatrix} b & & \\ & 1 & \\ & & b^{-1} \end{pmatrix} \right]$

lift by ϕ to $St(R)$

qui est un isomorphisme si R est un corps (Matsumoto '69),

ou si R est un anneau local (Dennis-Stein, van der Waalen, et al.)

ou si $R = A[\frac{1}{t_1 \dots t_n}]$ où A anneau local régulier, # corps res. ≥ 5
 $t_1, \dots, t_n \in \mathfrak{m}_A$
 $A/(t_{i_1}, \dots, t_{i_k})$ régulier.

Thm (Bloch-Kato-Gabber)

F corps de car $p > 0$.

Le morphisme $dlog = K_2^M(F) / p^n \longrightarrow W_n \Omega_{F, log}^2$ est un iso. $\forall n \geq 0$

$\{x_1, \dots, x_n\} \longmapsto dlog[x_1] \wedge \dots \wedge dlog[x_n]$

Rem: Kato - surjectivité ; Bloch-Kato, Gabber - injectivité.

— Lien avec la cohomologie étale, ^{conj. de} Bloch-Kato (~~Hyodo-Tate~~)

• Construction : R anneau commutatif, $m \in R^\times$ un entier.

→ suite exacte de Kummer $1 \rightarrow \mu_m \rightarrow G_m \xrightarrow{\cdot m} G_m \rightarrow 1$ sur $(\text{Spec } R)_{\text{ét}}$.

→ $R^\times \rightarrow H_{\text{ét}}^1(R, \mu_m)$

cup-produit
 → $(R^\times)^{\otimes n} \xrightarrow{\delta} H_{\text{ét}}^n(R, \mu_m^{\otimes n}) \quad \{a, 1-a\} \mapsto 0 \in H_{\text{ét}}^2(R, \mu_m^{\otimes 2})$ (Tate)

↓
 $K_n^M(R) / m$ $\xrightarrow{h_m^n}$ symbole galoisien / symbole cohomologique / morphisme de norme-résiduelle

• Conj. (Bloch-Kato, Levine, Kahn) $p \in R^\times$ nb. premier

~~Atans~~ $h_{p^r}^n : K_n^M(R) / p^r \longrightarrow H_{\text{ét}}^n(R, \mu_{p^r}^{\otimes n})$

• (Bloch-Kato) $h_{p^r}^n$ est un isom. pour $R = F$ est un corps.

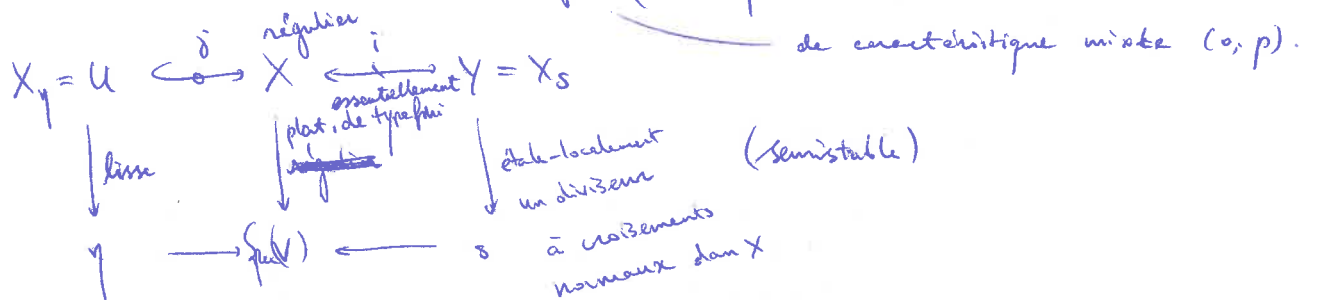
• (Levine, Kahn) $h_{p^r}^n$ est un isom pour R anneau semi-local contenant un corps (contenant un corps) dont les corps résiduels sont assez gros. ~~assez gros~~ (cas d'égalité caractéristique)

• Thm (Voevodsky - Rost) La conj. de Bloch-Kato est vraie.

• Thm (Kato) La conj. de Bloch-Kato (de Levine) est vraie. et Kahn

— Variante, et les cycles proches (Bloch-Kato-Hyodo)

$V =$ anneau à val. discrète complet (de corps des fractions $\text{Frac}(V)$)



suite exacte de Kummer $1 \rightarrow \mu_{p^r} \rightarrow G_m \xrightarrow{p^r} G_m \rightarrow 1$ sur $U_{\text{ét}}$

→ $i^* j_* \mathcal{H}_f^q(G_m^{\otimes r}) \longrightarrow i^* R^q j_* (\mu_{p^r}^{\otimes r}) \quad \forall q, r \geq 0$

↓
 $i^* j_* K_f^M / p^r \xrightarrow{h_{p^r}^q}$

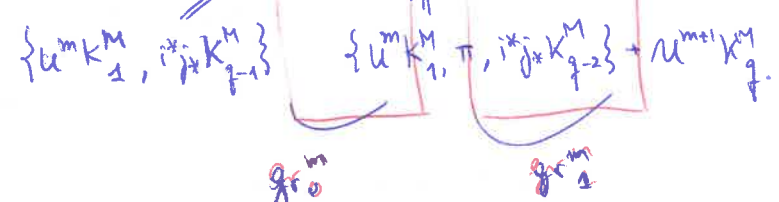
• Filtration de Bloch-Kato-Hyodo : soit $\pi \in V$ uniformisante, $e = v_\pi(p)$
 sur les symboles / faisceaux de K-groupes de Milnor :

$$i^* j_* K_0^M = U^0 K_0^M \cong V^0 K_0^M = 0$$

$$i^* j_* K_1^M = U^0 K_1^M \cong V^0 K_1^M \cong U^1 K_1^M \cong V^1 K_1^M \cong U^2 K_1^M \cong V^2 K_1^M \cong U^3 K_1^M \cong V^3 K_1^M \cong \dots$$

\parallel \parallel \parallel \parallel
 $i^*(1+\pi^0 \mathcal{O}_X) \cdot \pi^{\mathbb{Z}}$ $i^*(1+\pi \mathcal{O}_X)$ $i^*(1+\pi^2 \mathcal{O}_X)$ $i^*(1+\pi^3 \mathcal{O}_X)$

$$i^* j_* K_q^M = U^0 K_q^M \cong V^0 K_q^M \cong \dots \cong U^m K_q^M \cong V^m K_q^M \cong U^{m+1} K_q^M \cong \dots \quad (q \geq 2)$$



Par l'application de symboles,

on obtient une filtration sur $M_r^q := i^* R^q j_* (\mu_{p^r}^{\otimes q})$ les cycles proches :

$$M_r^q \supseteq U^0 M_r^q \supseteq V^0 M_r^q \supseteq U^1 M_r^q \supseteq V^1 M_r^q \supseteq \dots$$

Thm (Bloch-Kato-Hyodo)

r=1 :

1) $U^0 M_1^q = M_1^q$

2) $gr_0^0 \xrightarrow{\sim} \Omega_{Y, \log}^q$
 $\{x_1, \dots, x_q\} \longmapsto d \log \bar{x}_1 \wedge \dots \wedge d \log \bar{x}_q$
 $gr_1^0 \xrightarrow{\sim} \Omega_{Y, \log}^{q-1}$
 $\{x_1, \dots, x_{q-1}, \pi\} \longmapsto d \log \bar{x}_1 \wedge \dots \wedge d \log \bar{x}_{q-1}$

3) $1 \leq m < e' = \frac{q}{p-1}$

$gr_0^m M_1^q \xleftarrow{\sim} \Omega_Y^{q-1} / \mathcal{B}_Y^{q-1} \quad (p \nmid m)$

$\{1+\pi^m \bar{x}, \bar{y}, \dots, \bar{y}_{q-1}\} \longmapsto x d \log y_1 \wedge \dots \wedge d \log y_{q-1}$

$gr_1^m M_1^q \xleftarrow{\sim} \Omega_Y^{q-2} / \mathcal{Z}_Y^{q-2} \cong \mathcal{B}_Y^{q-1} \quad (p \nmid m)$

$\{1+\pi^m \bar{x}, \bar{y}, \dots, \bar{y}_{q-2}, \pi\} \longmapsto x d \log y_1 \wedge \dots \wedge d \log y_{q-2}$

$gr_0^m M_1^q \xleftarrow{\sim} \Omega_Y^{q-1} / \mathcal{Z}_Y^{q-1} \quad (p \mid m)$

$gr_1^m M_1^q \xleftarrow{\sim} \Omega_Y^{q-2} / \mathcal{Z}_Y^{q-2} \quad (p \mid m)$

4) $m \geq e', U^m M_1^q = 0$

r=1, M_r^q

1) $U^0 M_r^q = M_r^q$

2) $gr_0^0 \xrightarrow{\sim} W_r \Omega_{Y, \log}^q$

$gr_1^0 \xrightarrow{\sim} W_r \Omega_{Y, \log}^{q-1}$

3) $1 \leq m < e', m \geq p \cdot m_1$

$gr_0^m \xleftarrow{\sim} \Omega_Y^{q-1} / \mathcal{B}_{s+1, Y}^{q-1} \quad (r > s)$

$gr_1^m \xleftarrow{\sim} \Omega_Y^{q-2} / \mathcal{Z}_{s+1, Y}^{q-2} \quad (r > s)$

$gr_0^m \xleftarrow{\sim} \Omega_Y^{q-1} / \mathcal{Z}_{r, Y}^{q-1} \quad (r \leq s)$

$gr_1^m \xleftarrow{\sim} \Omega_Y^{q-2} / \mathcal{Z}_{r, Y}^{q-2} \quad (r \leq s)$

$gr_0^m \xleftarrow{\sim} \Omega_Y^{q-1} / \mathcal{Z}_{r, Y}^{q-1} \quad (r \leq s)$

$gr_1^m \xleftarrow{\sim} \Omega_Y^{q-2} / \mathcal{Z}_{r, Y}^{q-2} \quad (r \leq s)$

4) $m \geq e'$, aucune connaissance.

Rem Dans le cas lisse (Bloch-Kato), seulement U^m , pas de V^m .

$r \geq 1$: $gr^0 = gr_0^0 \oplus gr_1^0$, $gr^m = gr_0^m \oplus gr_1^m$ si $r \leq s$.

$r = 1$: de plus, $gr^m \subseteq \Omega_Y^{q-1}$ si $r > s$.

(Shuji Saito & Kanemoto Sato)

Rem Généralisation au cas d'une famille quasi-lisse / OK, a.v.d-hennelien, car mixte, $\zeta_p \in \mathbb{Q}_K$

Rem Tsuji^{en} a donné un analogue pour les filtrations par symboles sur les complexes symboliques, et les comparer avec celles des cycles proches $\Rightarrow (L_{st})$ de Fontaine-Jannsen.

Rem • les faisceaux des formes diff. B_n^q, Z_n^q en car $(k) = p > 0$

$$c^{-1} = \Omega_{Y/k}^q \xrightarrow{\sim} Z_{Y/k}^q / B_{Y/k}^q$$

$$x \, d\log y_1 \wedge \dots \wedge d\log y_r \longmapsto x^p \, d\log y_1 \wedge \dots \wedge d\log y_r$$

\hookrightarrow sous-faisceaux $\Omega_{Y/k}^q \supseteq \mathbb{F}^q \supseteq Z_2^q \supseteq Z_3^q \supseteq \dots \supseteq B_3^q \supseteq B_2^q \supseteq B_1^q \supseteq 0$

$\stackrel{||}{Z_n^q}$ tq. $Z_i^q / B_i^q \xrightarrow{\sim c^{-1}} Z_{i+1}^q / B_{i+1}^q$

• Faisceaux de de Rham-Witt s'insère dans la suite exacte courte :

$$0 \rightarrow \Omega_{Y, \log}^q \rightarrow \Omega_Y^q \xrightarrow{1-c^{-1}} \Omega_Y^q / B_Y^q \rightarrow 0 \quad (\text{topol. étale})$$

Une autre caractérisation : $\Omega_{Y, \log}^q = \text{Im} (d\log = i^* j_* \mathcal{O}_U^X / \pi_* \mathbb{Z} \rightarrow \Omega_Y^q)$

Rem. Pour définir les morphismes $x \, d\log y_1 \wedge \dots \wedge d\log y_r \mapsto \dots$, (même au cas semi-stable)

on remarque que $\Omega_Y^q = \mathcal{O}_Y \otimes (\mathcal{O}_Y^X)^{\otimes q}$

$\left\langle \begin{array}{l} \cdot x \otimes y_1 \otimes \dots \otimes y_r \text{ avec } y_i = y_j \text{ certain } i \neq j \\ \cdot \sum_i z_i \otimes x_i \otimes y_2 \otimes \dots \otimes y_r - \sum_i z_i' \otimes x_i' \otimes y_2 \otimes \dots \otimes y_r \text{ avec } \sum x_i = \sum x_i' \end{array} \right\rangle$

En particulier dans le cas $X \downarrow Y$ lisse + Y normalisé (i.e. $e=1$) + $r=1$,

on obtient $0 \rightarrow \Omega_Y^{\delta-1} \rightarrow i^* R^{\delta} j_* \mathcal{M}_p^{\otimes \delta} \rightarrow \Omega_{Y, \log}^{\delta} \oplus \Omega_{Y, \log}^{\delta-1} \rightarrow 0$ exacte.

$Y = \text{Spec}(R/p)$

$0 \rightarrow \Omega_{R/p}^{\delta-1} \rightarrow H_{\text{ét}}^0(R/p, i^* R^{\delta} j_* \mathcal{M}_p^{\otimes \delta}) \rightarrow \Omega_{R/p, \log}^{\delta} \oplus \Omega_{R/p, \log}^{\delta-1} \rightarrow 0$ exacte.

Complexes de Gersten et généralisation de la conj. de Bloch-Kato et du thm Bloch-Kato-Gabber. R anneau local noeth. régulier.

de Gersten complexe $\xrightarrow{g_n} 0 \rightarrow K_n^M(R) \rightarrow \bigoplus_{x \in (\text{Spec } R)^{(1)}} K_n^M(k(x)) \xrightarrow{\partial} \bigoplus_{x \in (\text{Spec } R)^{(1)}} K_{n-1}^M(k(x)) \rightarrow \dots$

pour la théorie de Milnor :

$\partial : (k(x), v_y) \xrightarrow{\partial} k(y), \{u_1, \dots, u_{q-1}, \pi_y\} \mapsto \{u_1, \dots, u_{q-1}\}$

$v_y(-) = \text{uniformisante}$

Conj (Gersten) Le complexe de Gersten est (universellement) exacte.

Cas d'égalité caractéristique est due à Kerz, avec l'exactitude universelle :

- pour la k -th. de Milnor — si $\# R/m > M_n$
- pour ———— archivée — aucune contrainte sur $\# R/m$.

Rem. L'exactitude sauf ± 1 -place $K_n^M(R)$ avait été dém. par Elbaz-Vincent, Müller-Stach et aussi Gabber.

Il manquait l'injectivité de Gersten.

Rem. Pour attaquer le cas d'égalité caractéristique avec $\#R/m$ fini arbitraire, on a besoin de transfert / norme pour se ramener au cas $\#R/m$ infini.

Ainsi on a besoin

$$\hat{K}_0^M(A) \rightarrow \hat{K}_0^M(B) \xrightarrow{N_{B/A}} \hat{K}_0^M(A) \quad \text{fct } A \rightarrow B$$

$\times d = \deg(B/A)$

de la K -th. de Milnor améliorée (Kerz - Gabber)

$$\hat{K}_0^M(R) = \varinjlim (K_0^M(R(t_1)) \xrightarrow{i_1^* \otimes j_2^*} K_0^M(R(t_1, t_2)))$$

Prop. (Kerz). (R, m) anneau local. $RT \in \mathbb{Z}_m[RT]$

1. $K_n^M(R) \rightarrow \hat{K}_n^M(R)$ vérifie certaine propriété universelle parmi ceux avec transferts
2. c'est un iso si $R = F$ un corps ou $n = 1$ ou $\#R/m > Mn$.
3. Le complexe de Gersten pour $\hat{K}_0^M(-)$ est universellement exacte si R régulier contenant un corps.

Rem. D'autres complexes de Gersten : pour ~~avec R local, ind- \mathbb{Z}~~

• Cohomologie étale (cycles proches)
 \Rightarrow Bloch - Ogus - Gabber

en particulier : l'injectivité de Gabber : R local, ind- \mathbb{Z} / v , p -henselien.

$$\begin{array}{ccc} \text{abs} & H_{\text{ét}}^n(R[\frac{1}{p}], M_p^{\otimes n}) & \longrightarrow H_{\text{ét}}^n(R_{\pi R}^h[\frac{1}{p}], M_p^{\otimes n}) \\ & \parallel & \parallel \\ & H_{\text{ét}}^n(R, i^* M_p^{\otimes n}) & H_{\text{ét}}^n(R_{\pi R}^h, i^* M_p^{\otimes n}) \\ & \parallel \leftarrow \text{analogue affine du chgt de base prof.} & \parallel \\ & H_{\text{ét}}^n(R/\pi, i^* M_p^{\otimes n}) & \xrightarrow{\text{Bloch-Ogus-Gabber}} H_{\text{ét}}^n(\text{Frac}(R/\pi), i^* M_p^{\otimes n}) \end{array}$$

• Cohomologie motivique (Gaißer - Levine)

• faisceaux de de Rham - Witt log. (Gros - Suwa)
 Hodge - Witt

Comparaison entre ces objets

(A.11)

\Rightarrow eg. $\textcircled{1}$ (Bloch - Kato - Gabber) A anneau local régulier $\geq \mathbb{F}_q$, $\#A/m$ grand.

$$\Rightarrow \hat{K}_q^M(A)/p^n \xrightarrow{d \log[\cdot]} W_n \Omega_{A, \log}^q$$

$\textcircled{2}$ (Cory. de Bloch - Kato de Levine - Kahn) $\textcircled{3}$ A local contenant un corps \Rightarrow BK isomorphisme.

Thm A (Lindero - Morrow) V ~~est~~ a.v.d. complet - de caractéristique mixte (o.p)

R local, ind-lisse/ v , p -henselien, dont le corps rési est gros. $\delta-1 \geq 1$.

Alors. (i) (Bloch-Kato) $H_{\text{ét}}^{\delta}(\mathbb{K}_j^M(R)/p^r) \simeq H_{\text{ét}}^{\delta}(R/p^r, M_{p^r}^{\otimes \delta})$

(ii) (Injectivité de Gostan) $K_j^M(R)/p^r \hookrightarrow K_j^M(R/p^r)$

Thm B (L.-M.) ~~Entrevient la condition sur~~ V -a.v.d. complet, car = (o.p)

R local/ v régulier, noeth. tq. R/mR ind-lisse/ v/m .

Alors. le complexe de Gostan pour K_j^M/p^r est exact.

(Alors Nesterenko-Suslin type thm: $\hat{K}_j^M(A)/p^r \simeq H^j(Z_p(j)(A)/p^r)$ $\forall A$ local, p -complete)

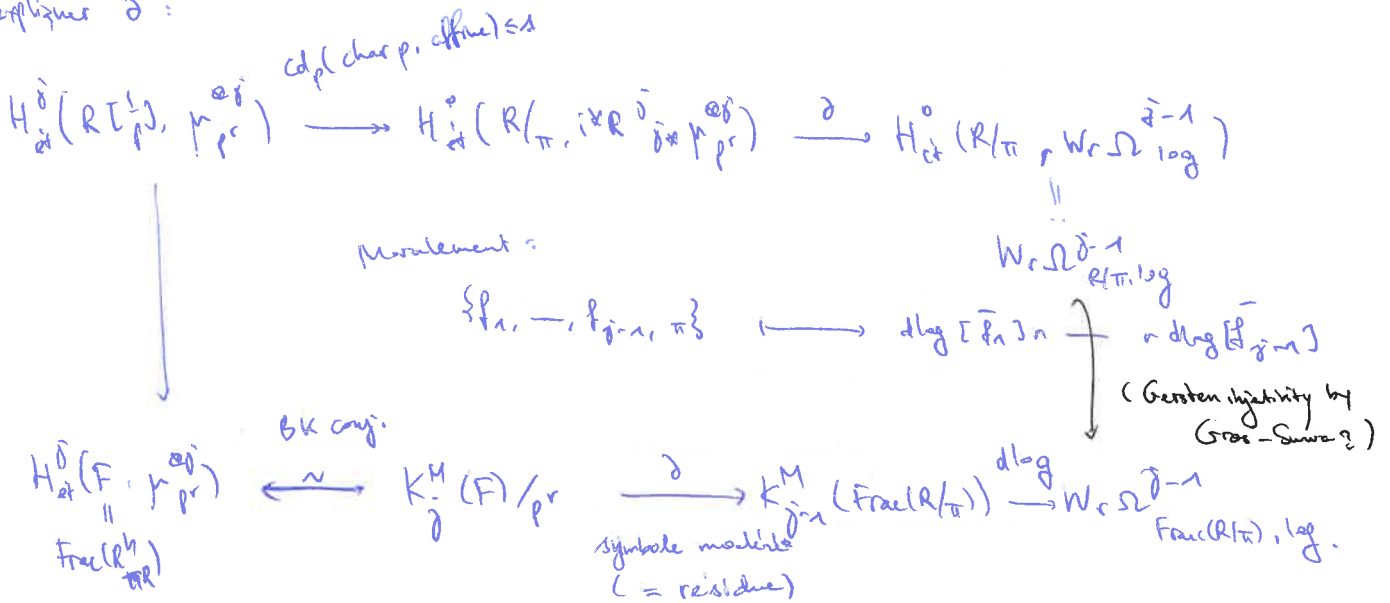
Preuve:

Thm A' (L.-M.) V a.v.d. complet, car mixte (o.p)

R local, ind-lisse/ v p -henselien. $\delta-1 \geq 1$ ↓ l'appli de résidu de Kato

Alors la suite (en fait complexe) $0 \rightarrow \hat{K}_j^M(R)/p^r \rightarrow H_{\text{ét}}^{\delta}(R/p^r, M_{p^r}^{\otimes \delta}) \xrightarrow{\partial} W_r \Omega_{R/mR, \log}^{\delta-1} \rightarrow 0$

Pour expliquer ∂ :



Considérons le diagramme comm.

$$\begin{array}{ccccccc}
 0 \rightarrow K_j^M(R)/p^r & \rightarrow & K_j^M(R[\frac{1}{p}])/p^r & \xrightarrow{\partial^M} & K_{j-1}^M(R/\pi)/p^r & \rightarrow & \text{exacte à droite} \\
 \downarrow & & \downarrow h_{p^r}^{\delta_j} & \simeq & \downarrow \text{dlog} & & \text{résolution de Gersten pour } W_r \Omega_{R/\pi, \log}^{\delta_j} \\
 0 \rightarrow \hat{K}_j^M(R)/p^r & \rightarrow & H_{\text{ét}}^{\delta_j}(R[\frac{1}{p}], p_{p^r}^{\otimes \delta_j}) & \xrightarrow{\partial} & W_r \Omega_{R/\pi, \log}^{\delta-1} & \rightarrow & 0 \text{ complexe}
 \end{array}$$

Donc, $\text{Thm A} \Leftrightarrow$ injectivité en haut à gauche + bijectivité de $h_{p^r}^{\delta_j}$.

$\text{Thm A}' \Leftrightarrow$ exactitude de la suite en bas

① Prop (Formulation équivalente) Si $K_j^M(R) \xrightarrow{\sim} \hat{K}_j^M(R)$ (eg. si le corps rés. de R est gros), alors $\text{Thm A} \Leftrightarrow \text{Thm A}'$ pour j, r, V, R fixés.

② Prop. Réduction au cas de R avec gros corps résiduel pour $\text{Thm A}'$.

Astuce avec le transfert: construisons $R \rightarrow R'$ fct, corps $k \rightarrow k'$, $\deg = l$ premier à p . des transferts. $\rightarrow \hat{K}_j^M$ admet

$$\begin{array}{ccccccc}
 0 \rightarrow \hat{K}_j^M(R)/p^r & \rightarrow & H_{\text{ét}}^{\delta_j}(R[\frac{1}{p}], p_{p^r}^{\otimes \delta_j}) & \xrightarrow{\partial} & W_r \Omega_{R/\pi, \log}^{\delta-1} & \rightarrow & 0 \\
 \downarrow & \nearrow N_{R'/R} & \downarrow \text{compatibilité} & \nearrow N_{R'/R} & \downarrow & & \\
 0 \rightarrow \hat{K}_j^M(R')/p^r & \rightarrow & H_{\text{ét}}^{\delta_j}(R'[\frac{1}{p}], p_{p^r}^{\otimes \delta_j}) & \xrightarrow{\partial} & W_r \Omega_{R'/\pi, \log}^{\delta-1} & \rightarrow & 0
 \end{array}$$

compatibilité simpliciale

injectivité de Gersten de Gabber

③ Prop (Tate) Réduction au cas de $r=1$. pour Thm A .

V, R comme dans Thm A .

V' = anneau des entiers dans $\text{Frac}(V)$ (\mathbb{Z}_p). $R' = R \otimes_V V'$.

Hypothèse: $\text{Frac}(V) \subset \text{Frac}(V')$ totalement ramifié $\Rightarrow R'$ local.

et vérifie les conditions de Thm A .

Alors

Ⓐ Thm A pour $(V \rightarrow R, r=1, 0 \leq j \leq J)$

Ⓑ Thm A pour $(V' \rightarrow R', r=1, 0 \leq j \leq J)$

\Rightarrow Ⓒ Thm A pour $(V \rightarrow R, r \geq 1, 0 \leq j \leq J)$

$$\begin{array}{ccc}
 \hat{K}_j^M(F)/p^r & \rightarrow & H_{\text{ét}}^{\delta_j}(F, p_{p^r}^{\otimes \delta_j}) \\
 \downarrow N & & \downarrow N \\
 \hat{K}_j^M(F')/p^r & \rightarrow & H_{\text{ét}}^{\delta_j}(F', p_{p^r}^{\otimes \delta_j})
 \end{array}$$

Induction sur r . ($\alpha := \text{Gal}(R'/R)$) *seulement complexe ici, pour l'instant*

$$\begin{array}{ccccccc}
 (p_1 \otimes_{\mathbb{F}_p} \hat{K}_{j-1}^M(R'[\frac{1}{p}])/p^r)^{\alpha} & \rightarrow & \hat{K}_j^M(R[\frac{1}{p}])/p^r & \xrightarrow{p} & \hat{K}_j^M(R[\frac{1}{p}])/p^{r+1} & \rightarrow & \hat{K}_j^M(R[\frac{1}{p}])/p \rightarrow 0 \\
 \downarrow & & \downarrow h_{p^r}^{\delta_j} & & \downarrow h_{p^{r+1}}^{\delta_j} & & \downarrow h_{p^r}^{\delta_j} \\
 H_{\text{ét}}^{\delta_j}(R[\frac{1}{p}], p_{p^r}^{\otimes \delta_j}) & \rightarrow & H_{\text{ét}}^{\delta_j}(R[\frac{1}{p}], p_{p^r}^{\otimes \delta_j}) & \rightarrow & H_{\text{ét}}^{\delta_j}(R[\frac{1}{p}], p_{p^{r+1}}^{\otimes \delta_j}) & \rightarrow & H_{\text{ét}}^{\delta_j}(R[\frac{1}{p}], p_{p^r}^{\otimes \delta_j}) \rightarrow 0
 \end{array}$$

d'où $h_{p^r}^{\delta_j}$ est un iso, et les deux rangs sont tous exacts (\dots $r-1$ -ième rang.)

Pour l'injectivité de Gersten, faut travailler un peu plus (chasse au diagramme)

Induction sur r :

$$\begin{array}{ccccccc}
 M_p \otimes_{F_p} K_0^{M, \beta}(\mathbb{R}[E_p^{\pm}]) & \rightarrow & K_0^M(\mathbb{R}[E_p^{\pm}]) / \mathfrak{p}_r & \xrightarrow{p} & K_0^M(\mathbb{R}[E_p^{\pm}]) / \mathfrak{p}_{r+1} & \rightarrow & K_0^M(\mathbb{R}[E_p^{\pm}]) / \mathfrak{p}_0 \rightarrow 0 \\
 & & \uparrow \scriptstyle \{ \sum p_i \beta_i + \langle \alpha, \pi \rangle - \delta \} & & \uparrow & & \uparrow \\
 & & K_0^M(\mathbb{R}^i) / \mathfrak{p}_r & \xrightarrow{p} & K_0^M(\mathbb{R}^i) / \mathfrak{p}_{r+1} & \rightarrow & K_0^M(\mathbb{R}^i) / \mathfrak{p}_0 \rightarrow 0 \\
 & & \exists \alpha' & & \text{soit } \alpha & &
 \end{array}$$

On vérifie $p\alpha' = 0$ par calcul.

\Rightarrow l'injectivité de $K_0^M(\mathbb{R}^i) / \mathfrak{p}_r \rightarrow K_0^M(\mathbb{R}[E_p^{\pm}]) / \mathfrak{p}_r$ par l'estime de norme (transfert. (deg E/R premier à p))

④ Réduction au cas non ramifié (i.e. $e=1$).

2 ingrédients $\left\langle \begin{array}{l} \text{complexes symétriques } p\text{-adiques } \mathbb{Z}_p(n), n \in \mathbb{Z}. \\ \text{l'existence de Kan à gauche} \end{array} \right.$

• L'ext. de Kan à gauche d'un foncteur $F = \mathcal{L}_0 \rightarrow \mathcal{D}(\mathbb{Z})$ ^{co-est}

est un foncteur LF tq. $LF|_{\mathcal{L}_0} \cong F$

$\begin{array}{ccc} & \nearrow \text{ pleine} & \\ \mathcal{L} & & LF \end{array}$

et tq. $\forall X \in \mathcal{L}, \text{localim}_{X_0 \rightarrow X} F(X_0) \xrightarrow{\sim} LF(X)$ _{équivalence}

(si F est défini sur \mathcal{L} , on a alors $L(F|_{\mathcal{L}_0}) \rightarrow F$ naturel)

Un foncteur F est Kan-étendu de Kan à gauche de \mathcal{L}_0 si $L(F|_{\mathcal{L}_0}) \xrightarrow{\sim} F$.

Ex. Poly $\xrightarrow{\text{tr.}} \mathcal{D}(A)$ _{$\Omega_{-1/A}$ resp. $\Omega_{-1/A}^0$} A anneau comm.

\cap
 $\text{Alg}_A \xrightarrow{L} \mathcal{L}_{-1/A}$ _{resp. $dR_{-1/A}$}

Ex. $\mathcal{L}_0 = \{ \text{alg. ind. (base } p\text{-heréditaire)} \} \xrightarrow{F} \mathcal{D}(\mathbb{Z})$

\cap
 $\mathcal{L} = \{ \mathbb{Z}_p\text{-alg. } p\text{-heréditaire} \} \xrightarrow{L^{Sm}} F$

réalisation géométrique \swarrow

$$L^{Sm} F(A) = \text{colim}_{R \rightarrow A} F(R) = \text{colim}_{R \rightarrow A} |F(R_0)|$$

$\begin{array}{l} R \rightarrow A \\ \text{ind. base } p\text{-her.} \end{array}$
 $\begin{array}{l} R \rightarrow A \\ \text{suggestion héréditaire} \end{array}$
 $\begin{array}{l} \text{où } R_0 \rightarrow A \text{ est une résolution syzygiale} \\ \text{avec } R_i \rightarrow A \text{ surj. héréditaires} \end{array}$

Prop. k anneau comm. $\ell \in \mathbb{N}$. Alors $H_0(L^{Sm}(K_0^M(\ell))(A)) \xrightarrow{\sim} K_0^M(A)/\ell$

en tant que foncteurs :

$$\left(\begin{array}{ccc}
 \text{Sm}_k^{loc} & \xrightarrow{K_0^M(\ell)} & \mathcal{D}^{\leq 0}(\mathbb{Z}) \\
 \uparrow & & \uparrow \\
 \text{Alg}_k^{loc} & \xrightarrow{L^{Sm}(K_0^M(\ell))} & K_0^M(\ell)
 \end{array} \right)$$

Dém. $j=1$. $K_0^M = \mathbb{Z}$. sensuit de (Mathew, cf. [Elmanto, et al. alg. cobordism])

En général, $L_{\mathbb{F}_0}^{Sp(M)}(A) = |K_0^M(R_0)/\mathbb{Z}|$. Mettant tout j en ensemble :

$$\begin{array}{ccc} \bigoplus_{j \geq 0} K_0^M(R_0)/\mathbb{Z} & \xrightarrow{\alpha} & \bigoplus_{j \geq 0} K_0^M(A)/\mathbb{Z} \\ \downarrow \beta & & \\ \bigoplus_{j \geq 0} H_0(K_0^M(R_0)/\mathbb{Z}) & \xrightarrow{\gamma} & \end{array}$$

anneaux gradués commutatifs

$\langle 1+I \rangle \subseteq \ker \beta \subseteq \ker \alpha = \langle 1+I \rangle$
 \uparrow
 γ 30 endegre $j=1$ $\Rightarrow \gamma$ est un iso.

• Complexes symphoniques p -adiques $Z_p(n)$.

[Bhatt-Lurie] $Z_p(n) = \text{Catg}^{\text{an}} \rightarrow \mathcal{D}_{\text{comp}}(\mathbb{Z}_p)$, $n \in \mathbb{Z}$. construction globale.

[BUSEF] $Z_p(n)$, $n \in \mathbb{N}$, définis d'abord sur $\mathcal{QRSPerfd} \subseteq \mathcal{QSyn}$, puis par descente. (Ils y ont des faisceaux).

$R \in \mathcal{QRSPerfd}$ si $\left\{ \begin{array}{l} p\text{-complet (ou sans dérivé)} \\ \exists A \rightarrow R \\ \text{perfectionnaire} \\ \text{entier} \end{array} \right.$ et $\left\{ \begin{array}{l} R[p^\infty] = R[p^n] \ (\exists n \in \mathbb{N}) \\ L\Omega_R^1 \otimes_R^L (R/p)[-1] \in \mathcal{D}(R/p) \end{array} \right.$
 est un module plat.

La catégorie $(R)_{\Delta} = \{ (A, I) \text{ problème muni d'un morphisme } R \rightarrow A/I \}$ admet alors un objet initial $(\Delta_R, (d)) \ni \varphi(x) = x^p + p\delta(x)$.

Filtration de Nygaard = $\text{Fil}_N^n(\Delta_R) = \{ x \in \Delta_R \mid \varphi(x) \in d^n \Delta_R \} \xrightarrow{p} \Delta_R$
 de façon similaire. $\text{Fil}_N^n(\Delta_R) \xrightarrow[\varphi/d^n]{\varphi/d^n} \Delta_R$

Def. $Z_p(n)(R) = \text{fib}(\varphi/d^n - \text{id} : \text{Fil}_N^n(\Delta_R) \rightarrow \Delta_R)$

e.g. R/\mathbb{F}_p quasi-rég. semi-parfait. alors $Z_p(n)(R) = \text{fib}(\frac{\varphi}{p^n} - \text{id} : \text{Fil}_N^n \text{Acrp}(R) \rightarrow \text{Acrp}(R))$
 $\xrightarrow{\text{descente}} Z_p(n)$ sur \mathcal{QSyn} . $\xrightarrow[\text{à gauche}]{\text{ext. de Kan}}$ $Z_p(n)$ sur $\{ \text{anneaux animés } p\text{-complet} \}$.

c'est en fait $R\Gamma_{\text{syn}}(\text{Spf}(R), Z_p(n))$ pour [Bhatt-Lurie].

Pour nous : A p -hensélien, p^{∞} -torsion est bornée.

• $Z_p(n)$ satisfait à la descente pour la top. étale (en fait fpqc).

$\Rightarrow Z_p(n)_X :=$ faisceau étale sur $X_{\text{ét}}$. X schéma.

• $(Z_p(j)_X/p^n) = Z/p^n(j)_X$, $\cong \mu_{p^n}^{\otimes j}$ si $X/\mathbb{Z}[1/p]$.

• X schéma régulier (\mathbb{F}_p) , alors $Z/p^n(j)_X \cong W_n \Omega_{X/\mathbb{F}_p}^j[-j]$.

Thm (Antiean-Matthew-Morrow - Nikolaus) $\circledast \mathbb{Z}_p(n)$ est étendu de Kan à gauche

de $\{p\text{-hensélien, ind-lisse}/\mathbb{Z}_p\}$ à $\{p\text{-hensélien}\}$

$\circledast \text{fib}(\mathbb{Z}_p(j)(R) \rightarrow \mathbb{Z}_p(j)(R/I)) \in \mathcal{A}^{\leq \delta}(\mathbb{Z})$ pour R p -complet
(R, I) couple hensélien.

$\Rightarrow \uparrow^{\leq \delta} \mathbb{Z}_p(j)$ étendu de Kan à gauche de $\{p\text{-hensélien, ind-lisse}/\mathbb{Z}_p\}$ à $\{p\text{-hensélien}\}$.

Thm (Bhatt-Matthew). R ind-lisse/ \mathbb{V} , p -hensélien, abs.

$$H^{\delta}(\mathbb{Z}_p(j)(R)/p) \xrightarrow{\sim} \text{Ker}(H_{\text{ét}}^{\delta}(R[\frac{1}{p}], \mu_{p^r}^{\otimes j}) \rightarrow W_{\mathbb{Z}_p} \Omega_{R/\mathbb{Z}_p}^{\delta-1})$$

\uparrow symbole, étale localement suggestif.
 $(R^*)^{\otimes \delta}$

Réduction finale : notons $F = \uparrow^{\leq \delta} \mathbb{Z}_p(j)(-) / p$ [j]. $G = K_0^M(-) / p^r$.

Prop ④. $V^{nr} \subseteq V$ (même corps résiduel), $\delta, r \geq 1$.

Alors Thm A' pour tous les anneaux ^{locaux} ind-lisse/ \mathbb{V}^{nr} , p -hensélien ($\Rightarrow F \rightarrow G$ induisant $\text{HoF} \xrightarrow{\sim} G$)
 \Downarrow
Thm A' pour tous les anneaux ^{locaux} ind-lisse/ \mathbb{V} , p -hensélien

Dém. $F \rightarrow G$, $\in \mathcal{A}^{\leq \delta}$ induisant $\text{HoF} \xrightarrow{\sim} G$ sur $\text{Sm}_{\mathbb{V}^{nr}}^{\text{loc}}$

$\hookrightarrow F \rightarrow L^{\text{Sm}} G$, $\in \mathcal{A}^{\leq \delta}$ induisant $\text{HoF} \xrightarrow{\sim} H_0(L^{\text{Sm}} G) \cong G$ sur $\text{Alg}_{\mathbb{V}^{nr}}^{\text{loc}}$, en particulier sur $\text{Sm}_{\mathbb{V}}^{\text{loc}}$.

$$\Rightarrow H^{\delta}(\mathbb{Z}_p(j)(R)/p) \xrightarrow{\sim} K_0^M(R)$$

$\downarrow R$ ind-lisse/ \mathbb{V}

$$\text{Ker}(H_{\text{ét}}^{\delta}(R[\frac{1}{p}], \mu_{p^r}^{\otimes j}) \rightarrow W_{\mathbb{Z}_p} \Omega_{R/\mathbb{Z}_p}^{\delta-1})$$

Cor. Thm A (et Thm A') se réduit au cas V normalisé, $r=1$, et avec gros corps rés.

Dém. Réduit déjà au cas ^{de V avec} gros corps résiduel. Soit $V^{nr} \subset V$.

$$\text{Thm A pr } (V^{nr} \rightarrow \mathbb{V}_R, \forall \delta, r \geq 1) \stackrel{\textcircled{1}}{\Leftrightarrow} \text{Thm A' pr } (V^{nr} \rightarrow \mathbb{V}_R, \forall \delta, r \geq 1)$$

\Downarrow prop. ④

$$\text{Thm A pr } (V^{nr}(\xi_p) \rightarrow \mathbb{V}_R, \forall \delta, r \geq 1) \stackrel{\textcircled{1}}{\Leftrightarrow} \text{Thm A' pr } (V^{nr}(\xi_p) \rightarrow \mathbb{V}_R, \forall \delta, r \geq 1)$$

$$\text{Thm A pr } (V^{nr} \rightarrow \mathbb{V}_R, \forall \delta, r \geq 1) \stackrel{\textcircled{2}}{\Leftrightarrow} \text{Thm A' pr } (V^{nr} \rightarrow \mathbb{V}_R, \forall \delta, r \geq 1)$$

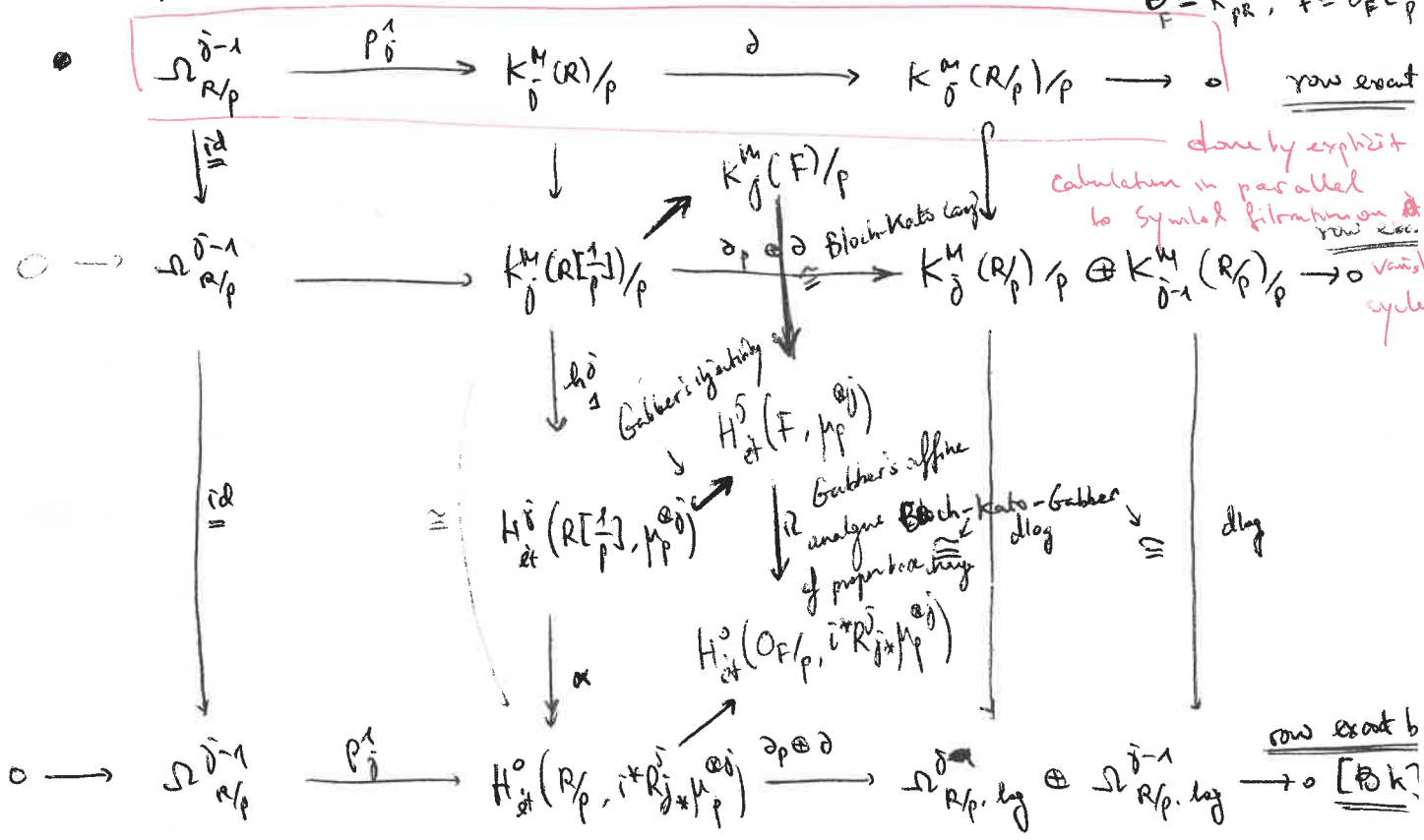
\Downarrow prop. ④

$$\text{Thm A pr } (V \rightarrow \mathbb{V}_R, \forall \delta, r \geq 1) \stackrel{\textcircled{1}}{\Leftrightarrow} \text{Thm A' pr } (V \rightarrow \mathbb{V}_R, \forall \delta, r \geq 1)$$

Proof of Thm A in abs. unramified, big res. field: $r=1$ case (p odd)
 (sketch) (For $p=2$ it will be more complicated in computations) for simplicity

Cor 2.15. \exists exact sequence $\Omega_{R/p}^{\tilde{j}-1} \xrightarrow{P_j^1} K_j^M(R)/p \xrightarrow{\partial} K_j^M(R/p)/p \rightarrow 0$ [Lind, Morr]
 need to shrink it if $p=2$.
 R p-henselian, additively gen by $a \text{ dlog } b_1 \wedge \dots \wedge \text{dlog } b_{j-1} \mapsto \{1 + \tilde{a}_p, \tilde{b}_i, \dots, \tilde{b}_{j-1}\}$
 units, $K_2^M(R) \cong K_2^M(R)$.
 such that

This exact seq. fits into the following comm diagram (except the red part to be added later)



where: • The second row is exact since: $K_j^M(R) \rightarrow K_j^M(R/p) \xrightarrow{\partial} K_{j-1}^M(R/p) \rightarrow 0$ row exact
 + the exactness of the first row

- $\alpha \circ h_1^0$ is iso by snake's lemma for example (comparing with the last row)
- α is surjective since \exists spectral seq. $E_2^{s,t} = H_{\text{ét}}^s(R/p, i^* R_{j*}^t(M_p^{e_j}))$

SGA4, Exp. X, Thm. 5.1 cdp (schéma noethérien affine de car = p) ≤ 1
 $\Rightarrow 0 \rightarrow H_{\text{ét}}^1(R/p, i^* R_{j*}^{\tilde{j}-1}(M_p^{e_j})) \rightarrow H_{\text{ét}}^0(R/p, i^* R_{j*}^{\tilde{j}}(M_p^{e_j})) \xrightarrow{\alpha} H_{\text{ét}}^0(R/p, i^* R_{j*}^{\tilde{j}}(M_p^{e_j})) \rightarrow 0$
 exact.
 • hence h_1^0 is injective.
 • it suffices to prove the injectivity of α , which follows from the red part.

Gersten conjecture

Thm 4.1: $\mathbb{Q} \subset V \subset DVR$ mixed char $(0, p)$

R p -henselian, regular, Noetherian, local V -alg st. R/\mathfrak{m}_R ind-smooth $/V/\mathfrak{m}$

Then the mod p -power Gersten conj. holds for R : $\forall r, j \geq 0$. ~~the exact seq~~

$$\text{the seq. (complex)} \quad 0 \rightarrow \hat{K}_j^M(R)/p^r \rightarrow K_j^M(\text{Frac}(R))/p^r \rightarrow \bigoplus_{z \in \text{Spec}(R)^{(1)}} K_{j-1}^M(k(z))/p^r \rightarrow \dots$$

is exact.

Def. Hypothesis $\Rightarrow R/\mathfrak{m}_R$ geom. regular $/V/\mathfrak{m}$ and $R[\frac{1}{p}]$ geom. regular $/V[\frac{1}{p}]$.

$\Rightarrow V \rightarrow R$ is ind-smooth by Néron-Popescu.

One possible way:

The argument follows Panin's (and Kerz's) = divisors: not local.

$$\text{let } Z = \text{Spec}(R/\mathfrak{m}_R) = X_S, \quad X_\eta = \text{Spec}(R[\frac{1}{p}])$$

Consider the complexes:

$$g_j(X) = 0 \rightarrow K_j^M(\text{Frac}(R))/p^r \rightarrow \bigoplus_{z \in X^{(1)}} K_{j-1}^M(k(z))/p^r \rightarrow \dots$$

$$g_j(Z) = 0 \rightarrow K_j^M(\text{Frac}(R/\mathfrak{m}_R))/p^r \rightarrow \bigoplus_{z \in Z^{(1)}} K_{j-1}^M(k(z))/p^r \rightarrow \dots$$

$$g_j(X_\eta) = 0 \rightarrow K_j^M(\text{Frac}(R))/p^r \rightarrow \bigoplus_{z \in X_\eta^{(1)}} K_{j-1}^M(k(z))/p^r \rightarrow \dots$$

$$\text{fitting into exact seq. of complexes: } 0 \rightarrow g_{j-1}(Z)[-1] \rightarrow g_j(X) \rightarrow g_j(X_\eta) \rightarrow 0 \quad (*)$$

By [Kerz 08, Milnor K -theory], $g_j(X_\eta)$ calculates $H^0(X_\eta, \hat{K}_j^M/p^r)$ but not $\hat{K}_j^M(R[\frac{1}{p}])$ since the ring $R[\frac{1}{p}]$ is not local; ~~$g_j(Z)$ calculates~~ and $\hat{K}_j^M(R/\mathfrak{m}_R) \xrightarrow{\cong} g_j(Z)$

Taking the long exact seq. associated to (*):

$$\begin{aligned} \bullet \quad 0 \rightarrow H^0(g_j(X)) \rightarrow H_{\text{Zar}}^0(X_\eta, \hat{K}_j^M/p^r) \rightarrow \hat{K}_{j-1}^M(R/\mathfrak{m}_R)/p^r \rightarrow H^1(g_j(X)) \rightarrow \dots \\ \bullet \quad 0 \rightarrow H^n(g_j(X)) \xrightarrow{\sim} H_{\text{Zar}}^n(X_\eta, \hat{K}_j^M/p^r) \rightarrow 0, \quad n \geq 2 \end{aligned}$$

Lemma 4.2. using Gersten resolution for motivic cohomology over Dedekind rings [Beilinson 2004] and Bloch-Kato isomorphism (à la Levine) $\hat{K}_j^M/p^r \xrightarrow{\cong} RDE_{\mu_p^{\otimes j}}$ on $\text{Spec}(S[\frac{1}{p}])_{\text{ét}}$, one gets: $H_{\text{Zar}}^n(X_\eta, \hat{K}_j^M/p^r) = \begin{cases} H_{\text{ét}}^0(X_\eta, \mu_p^{\otimes j}) & n=0 \\ 0 & n \geq 1 \end{cases}$

From these + Thm A', we deduce $\hat{K}_j^M(R)/p^r \xrightarrow{\cong} g_j(X)$. □